

Wykład 15

Nadprzewodnictwo

Nadprzewodnictwo jest stanem, który powstaje w wielu metalach, stopach, a również w niektórych półprzewodnikach. Zjawisko to było odkryte w 1911 roku przez Kamerlingh Onnesa podczas badania przewodnictwa rtęci. Rozważmy główne właściwości nadprzewodników, które wynikają z doświadczeń.

1) Podstawową właściwością stanu nadprzewodnictwa jest zerowy opór elektryczny. W nadprzewodnikach w pewnej temperaturze T_C zwanej *temperaturą krytyczną* opór zmniejsza się do zera, mimo obecności domieszek w próbce. Zanik oporu następuje w bardzo wąskim przedziale temperatur rzędu 0.05 K.

2) Stan nadprzewodnictwa w dość silnym polu magnetycznym znika. Wartość tego pola B_C nosi nazwę *pola krytycznego*, a zależność B_C od temperatury określa wzór

$$B_C = \text{const} \cdot \left[1 - \left(\frac{T}{T_C} \right)^2 \right], \quad T \leq T_C. \quad (15.1)$$

3) Pole magnetyczne wewnątrz nadprzewodnika jest równe zero. Efekt ten nazywa się *efektem Meissnera*.

4) Wkład w ciepło właściwe od elektronów przewodnictwa nadprzewodnika zależy od temperatury jako

$$C_v^{el} \approx \text{const} \cdot e^{-\Delta/kT}, \quad (15.2)$$

gdzie Δ - stała mniejsza niż energia Fermiego o 10^4 razy.

5) Temperatura krytyczna dla różnych izotopów danego pierwiastka zależy od masy izotopu M jako

$$T_C \approx \text{const} \cdot \frac{1}{\sqrt{M}}. \quad (15.3)$$

Efekt ten nazywa się *efektem izotopowym*.

6) Strumień pola magnetycznego przechodzącego przez pole powierzchni pierścienia nadprzewodzącego jest wielkością skwantowaną

$$\Phi = n \cdot \Phi_0, \quad n = 1, 2, \dots \quad (15.4)$$

gdzie kwant strumienia magnetycznego Φ_0 wynosi

$$\Phi_0 = \frac{h}{2e} = 2,0679 \cdot 10^{-15} \text{ Wb} . \quad (15.5)$$

Kwant strumienia magnetycznego Φ_0 nazywa się *fluksonem*.

Fenomenologiczna teoria nadprzewodnictwa braci Londonów

Fenomenologiczna teoria nadprzewodnictwa, która jednak nie wyjaśnia mikroskopowego mechanizmu nadprzewodnictwa, była opracowana przez braci Londonów w 1935 roku. Z zerowego oporu właściwego nadprzewodnika wynika, że ruch elektronu w nadprzewodniku znajdującego się w polu elektrycznym \vec{E} określa wzór

$$m\dot{\vec{v}} = e\vec{E} . \quad (15.6)$$

Wzór (15.6) nie zawiera żadnych wyrazów odpowiedzialnych za opór ("tarcie" elektronów) próbki.

Korzystając ze wzoru (15.6) dla zmiany gęstości prądu z czasem otrzymujemy równanie

$$\frac{d\vec{j}}{dt} = \frac{d}{dt}(en\vec{v}) = en\frac{d\vec{v}}{dt} = \frac{e^2 n}{m}\vec{E} = \frac{1}{\lambda_L}\vec{E} . \quad (15.7)$$

Tu n - koncentracja elektronów, $\lambda_L = m/ne^2$.

Skorzystamy teraz z równań Maxwella

$$\text{rot}\vec{E} = -\frac{\partial \vec{B}}{\partial t} , \quad (15.8a)$$

$$\text{rot}\vec{H} = \vec{j} + \frac{\partial \vec{D}}{\partial t} . \quad (15.8b)$$

Po podstawieniu (15.7) do równania (15.8a) otrzymujemy

$$\frac{\partial}{\partial t}(\lambda_L[\vec{\nabla} \times \vec{j}] + \vec{B}) = 0 . \quad (15.9)$$

Ze wzoru (15.9) wynika, że

$$\lambda_L[\vec{\nabla} \times \vec{j}] + \vec{B} = \text{const} . \quad (15.10a)$$

Fundamentalnym postulatem braci Londonów było założenie, że stała całkowania we wzorze (15.10) jest równa zeru, czyli

$$\lambda_L [\vec{\nabla} \times \vec{j}] + \vec{B} = 0. \quad (15.10b)$$

Ponieważ potencjał wektorowy \vec{A} pola elektromagnetycznego jest określony wzorem

$$\vec{B} = \text{rot} \vec{A} = [\vec{\nabla} \times \vec{A}], \quad (15.11)$$

ze wzoru (15.10b) otrzymujemy

$$[\vec{\nabla} \times \vec{j}] = -\frac{1}{\lambda_L} [\vec{\nabla} \times \vec{A}]. \quad (15.12)$$

Skąd możemy założyć, że

$$\vec{j} = -\frac{1}{\lambda_L} \vec{A}. \quad (15.13)$$

Równania (15.7) i (15.13) są to dwa równania braci Londonów, które prawidłowo opisują zachowania nadprzewodnika w polu magnetycznym.

Zakładając, że w równaniu Maxwella (15.8b) pole elektryczne jest wolnozmienną funkcją czasu ($\dot{\vec{D}} = 0$), i nadprzewodnik jest substancją nie magnetyczną ($\mu = 1$) otrzymujemy

$$\text{rot} \vec{B} = \mu_0 \vec{j}, \quad (15.14)$$

Z równań (15.11), (15.13) i (15.14) znajdujemy równanie na gęstość prądu w nadprzewodniku

$$[\vec{\nabla} \times [\vec{\nabla} \times \vec{A}]] - \mu_0 \vec{j} = -(\lambda_L [\vec{\nabla} \times [\vec{\nabla} \times \vec{j}]] + \mu_0 \vec{j}) = 0. \quad (15.15)$$

Korzystając z tożsamości $[\vec{\nabla} \times [\vec{\nabla} \times \vec{C}]] = \vec{\nabla} \cdot (\vec{\nabla} \cdot \vec{C}) - \Delta \vec{C}$, ze wzoru (15.15) mamy

$$[\vec{\nabla} \times [\vec{\nabla} \times \vec{j}]] = \vec{\nabla} \cdot \text{div} \vec{j} - \Delta \vec{j} = -\frac{\mu_0}{\lambda_L} \vec{j}. \quad (15.16)$$

Ze względu na równanie ciągłości strumienia ładunku elektrycznego w nadprzewodniku musi być spełnione równanie

$$\text{div} \vec{j} = 0,$$

a zatem równanie (15.16) możemy zapisać w postaci

$$\Delta \vec{j} - \frac{\mu_0}{\lambda_L} \vec{j} = 0 . \quad (15.17)$$

W podobny sposób ze wzorów (15.14) i (15.10b) otrzymujemy

$$[\vec{\nabla} \times [\vec{\nabla} \times \vec{B}]] - \mu_0 [\vec{\nabla} \times \vec{j}] = \left([\vec{\nabla} \times [\vec{\nabla} \times \vec{B}]] + \frac{\mu_0}{\lambda_L} \vec{B} \right) = 0 . \quad (15.18)$$

Znów korzystając z tożsamości $[\vec{\nabla} \times [\vec{\nabla} \times \vec{C}]] = \vec{\nabla} \cdot (\vec{\nabla} \cdot \vec{C}) - \Delta \vec{C}$, ze wzoru (15.18) mamy

$$[\vec{\nabla} \times [\vec{\nabla} \times \vec{B}]] = \vec{\nabla} \cdot \text{div} \vec{B} - \Delta \vec{B} = - \frac{\mu_0}{\lambda_L} \vec{B} . \quad (15.19)$$

Ponieważ z równań Maxwella wynika, że $\text{div} \vec{B} = 0$, równanie (15.19) możemy zapisać w postaci

$$\Delta \vec{B} - \frac{\mu_0}{\lambda_L} \vec{B} = 0 . \quad (15.20)$$

Otrzymaliśmy więc dwa podobne równania na gęstość prądu \vec{j} i pole magnetyczne \vec{B} w nadprzewodniku

$$\Delta \vec{B} - \frac{1}{\Lambda_L^2} \vec{B} = 0 , \quad (15.21a)$$

$$\Delta \vec{j} - \frac{1}{\Lambda_L^2} \vec{j} = 0 . \quad (15.21b)$$

Tu

$$\Lambda_L^2 = \frac{\lambda_L}{\mu_0} = \frac{m}{ne^2 \mu_0} . \quad (15.22)$$

Przypuśćmy, że pole \vec{B} jest spolaryzowane równoległe do osi Ox , pokrywającej się z powierzchnią nadprzewodnika: $\vec{B} = (B_x, 0, 0)$ i pole \vec{B} zmienia się jedynie w kierunku osi Oz , prostopadłej do powierzchni nadprzewodnika. Wtedy zgodnie z (15.14)

$$\mu_0 \vec{j} = \text{rot} \vec{B} = \begin{vmatrix} \vec{e}_x & \vec{e}_y & \vec{e}_z \\ \frac{\partial}{\partial x} & \frac{\partial}{\partial y} & \frac{\partial}{\partial z} \\ B_x(z) & 0 & 0 \end{vmatrix} = \frac{\partial B_x(z)}{\partial z} \vec{e}_y , \quad (15.23)$$

a zatem z równań (15.21) otrzymujemy

$$\frac{\partial^2 B_x(z)}{\partial z^2} - \frac{B_x(z)}{\Lambda_L^2} = 0, \quad (15.24a)$$

$$\frac{\partial^2 j_y(z)}{\partial z^2} - \frac{j_y(z)}{\Lambda_L^2} = 0. \quad (15.24b)$$

Rozwiązania równań (15.24) mają postać

$$B_x(z) = B_{x0} \exp\left(-\frac{z}{\Lambda_L}\right), \quad (15.25a)$$

$$j_y(z) = j_{j0} \exp\left(-\frac{z}{\Lambda_L}\right). \quad (15.25b)$$

Tu B_{x0} oznacza wartość pola magnetycznego na powierzchni próbki. Ze wzoru (15.25a) wynika, że pole magnetyczne w nadprzewodniku zanika wykładniczo, a szybkość zaniku pola określa *londonowska głębokość wnikania*

$$\Lambda_L = \sqrt{\frac{m}{ne^2\mu_0}}. \quad (15.26)$$

Dla typowych koncentracji elektronów wartość tego parametru jest rzędu 100 \AA i dobrze zgadza się z danymi doświadczalnymi.

Ze wzoru (15.26b) wynika, że prąd nadprzewodzący płynie głównie po powierzchni nadprzewodnika zanikając wykładniczo w obszarze rzędu Λ_L . Właśnie pole magnetyczne związane z tym prądem nadprzewodzącym całkowicie kompensuje zewnętrzne pole magnetyczne. Udowodniliśmy, że wewnątrz nadprzewodnika prąd nadprzewodzący nie płynie i indukcja pola magnetycznego wewnątrz nadprzewodnika równa się zero, a to właśnie jest efektem Meissnera.

Występująca w równaniu (15.26) koncentracja elektronów dotyczy jedynie elektronów odpowiedzialnych za nadprzewodnictwo. Ze ścisłej teorii nadprzewodnictwa Bardeena - Coopera - Schrieffera wynika, że koncentracja ta maleje, stając się równa zero w temperaturze krytycznej. A więc przy zwiększaniu temperatury próbki pole zewnętrzne, oraz prądy nadprzewodzące wnikają do próbki coraz głębiej. W temperaturze krytycznej prądy nadprzewodzące znikają całkowicie. Znika również zjawisko Meissnera.

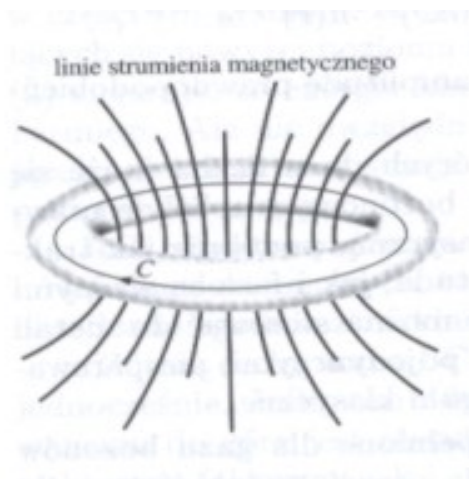
Pary Coopera. Elementy teorii nadprzewodnictwa Bardeena - Coopera - Schriefera

Teoria braci Londnów jest teorią fenomenologiczną, która nic nie mówi o mechanizmie fizycznym nadprzewodnictwa. Ważny krok w kierunku zrozumienia nadprzewodnictwa uczynił w 1956 roku Cooper, który zauważył, że gaz elektronów swobodnych staje się niestabilny, jeżeli przypuścimy, że między elektronami działają słabe siły przyciągania. Pod wpływem tych sił przyciągania w gazie odosobnionych elektronów powstają związane między sobą pary elektronowe, które nazywają się *parami Coopera*. Później okazało się, że właśnie te pary Coopera są odpowiedzialne za nadprzewodnictwo, które powstaje w metalach. Wkrótce zostało wyjaśnione, że słabe siły przyciągania między elektronami to są siły, które powstają wskutek polaryzacji przez elektrony sieci krystalicznej. Krótko ten mechanizm powstawania siły przyciągania między elektronami można opisać w następujący sposób: poruszający się w sieci krystalicznej ujemnie naładowany elektron przyciąga do siebie dodatnie ładunki sieci. Powstała w taki sposób wokół elektronu "szuba" dodatnie naładowana przyciąga do siebie inne elektrony. A zatem odkształcenie sieci dodatnie naładowanych węzłów jest przyczyną pojawienia się słabego przyciągania ujemnych ładunków elektronów! Z kwantowego punktu widzenia opisane tu oddziaływanie można opisać jako emitowanie przez jeden elektron *fononu* i pochłanianie tego fononu przez drugi elektron. Fonony takie noszą nazwę *fononów wirtualnych* ponieważ energia dla takich procesów emitowania i pochłanianie fononu *nie jest zachowana*. W wyniku takiej wymiany wirtualnym fononem o wektorze falowym \vec{q} elektrony o wektorach falowych \vec{k}_1 i \vec{k}_2 przechodzą w stany z wektorami falowymi $\vec{k}_1 - \vec{q}$ i $\vec{k}_2 + \vec{q}$. Ilość tych emitowanych i pochłanianych fononów, wskutek czego powstają pary Coopera, maksymalna kiedy elektrony mają przeciwnie skierowane do siebie pędy i spiny. Pary Coopera tworzą zespół cząstek z wypadkowym spinem równym zero, tj. para Coopera ma wiele wspólnych cech z bozonem. Dla bozonów zasada Pauliego nie jest słuszna, a zatem przy przejściu w stan nadprzewodzący następuję kondensacja par Coopera (zjawisko kondensacji Bozego -Einsteina) i wszystkie pary Coopera obsadzają ten sam stan kwantowy i mają taką samą funkcję falową. Kondensacja Bozego-Einsteina par Coopera powoduje, że te pary mogą poruszać się wzdłuż przewodnika bez rozpraszania (bez oporu), a właśnie to oznacza, że przewodnik przechodzi w stan nadprzewodzący.

Kwantowanie strumienia pola magnetycznego

Doświadczalnie stwierdzone, że całkowity strumień przechodzący przez nadprzewodzący pierścień może przybierać tylko skwantowane wartości, które są całkowitymi wielkościami kwantu strumienia hc/q , gdzie $q = -2e$. Kwantowanie strumienia magnetycznego jest pięknym przykładem makroskopowego zjawiska kwantowego, w którym spójność fazowa nośników prądu w stanie nadprzewodzącym rozciąga się na cały pierścień.

Udowodnimy kwantowanie strumienia pola magnetycznego rozważając pierścień z nadprzewodzącego materiału (rys.15.1).



Rys.15.1. Kontur całkowania C gradientu fazy wewnątrz pierścienia nadprzewodzącego

W polu magnetycznym prędkość cząstek określa wzór (patrz (14.1))

$$\vec{v} = \frac{1}{m}(\vec{p} - q\vec{A}) = \frac{1}{m}(-i\hbar\vec{\nabla} - q\vec{A}) \quad (15.27)$$

Przypuśćmy, że koncentracja par Coopera wynosi $n = \psi^* \psi = \text{stała}$. W temperaturze $T = 0$ koncentracja par n równa się połowie koncentracji elektronów w paśmie przewodnictwa. Zapiszmy funkcję falową pary w postaci

$$\psi = \sqrt{n} \cdot e^{i\theta(\vec{r})}, \quad (15.28)$$

gdzie fazę $\theta(\vec{r})$ funkcji (15.28) otrzymamy dalej.

Korzystając z (15.27) i (15.28) dla strumienia par otrzymujemy

$$\psi^* \vec{v} \psi = \frac{n}{m}(\hbar\vec{\nabla} \theta - q\vec{A}) \quad (15.29)$$

Stąd dla gęstości prądu elektrycznego mamy

$$\vec{j} = q\psi^* \vec{v} \psi = \frac{nq}{m}(\hbar\vec{\nabla} \theta - q\vec{A}) \quad (15.30)$$

Efekt Meissnera powoduje, że wewnątrz nadprzewodnika $\vec{B} = 0$ i $\vec{j} = 0$. A zatem ze wzoru (15.30) mamy

$$\vec{\nabla} \theta = \frac{q}{\hbar} \vec{A} . \quad (15.31)$$

Rozważmy teraz zmianę fazy funkcji falowej pary Coopera, która powstaje przy jednorazowym obiegnięciu pierścienia wzdłuż konturu C (rys.15.1). Ponieważ

$$\oint \vec{\nabla} \theta \cdot d\vec{l} = \theta_2 - \theta_1 \equiv \Delta \theta , \quad (15.32a)$$

$$\oint \vec{A} \cdot d\vec{l} = \iint_S (\text{rot} \vec{A}) \cdot d\vec{s} = \iint_S \vec{B} \cdot d\vec{s} = \Phi . \quad (15.32b)$$

Tu skorzystaliśmy z twierdzenia Stokesa i z równości $\text{rot} \vec{A} = \vec{B}$.

Biorąc pod uwagę wzory (15.32) i (15.31) znajdujemy

$$\theta_2 - \theta_1 = \frac{q}{\hbar} \Phi , \quad (15.33)$$

W równaniu (15.32a) θ_1 i θ_2 są fazy funkcji falowej pary Coopera w tym samym miejscu. A zatem, żeby funkcja falowa była wielkością jednoznaczną, musimy przyjąć, że

$$\Delta \theta = 2\pi \cdot n , \quad (15.34)$$

gdzie n jest liczbą całkowitą.

Biorąc pod uwagę wzory (15.32)-(15.34), ze wzoru (15.31) znajdujemy ($q = 2e$)

$$\Phi = 2\pi n \frac{\hbar}{q} \equiv n \frac{h}{q} = n \cdot 2,0678 \cdot 10^{-15} T \cdot m^2 . \quad (15.35)$$

A zatem skwantowany strumień magnetyczny w pierścieniu nadprzewodzącym jest całkowitą wielkością kwanta strumienia $\Phi_0 = h / 2e$, który nazywa się *fluksonem*.

Efekt Josephsona

Efekt Josephsona jest związany z tunelowaniem par Coopera przez ciekłą warstwę izolatora oddzielającej jeden nadprzewodnik od drugiego. Złącze takie nazywają *złączem Josephsona*.

Rozważmy uproszczoną teorię efektu Josephsona przyjmując, że złącze wykonano z jednakowych nadprzewodników i że różnica potencjałów między nimi jest równa zero. Udowodnimy, że przez złącze może płynąć prąd nawet bez zewnętrznego pola elektrycznego.

Załóżmy znów, że funkcje falowe par Coopera po jednej i drugiej stronie złącza mają postać

$$\psi_1 = \sqrt{n_1} \cdot e^{i\theta_1}, \quad \psi_2 = \sqrt{n_2} \cdot e^{i\theta_2}. \quad (15.36)$$

Tu n_1 i n_2 są koncentracje par Coopera po obu stronach złącza; θ_1 i θ_2 fazy funkcji falowych par Coopera. Przypuśćmy również, że funkcje falowe ψ_1 i ψ_2 są rozwiązaniami układu równań Schrödingera

$$i\hbar \frac{\partial \psi_1}{\partial t} = \hbar T \psi_2, \quad i\hbar \frac{\partial \psi_2}{\partial t} = \hbar T \psi_1. \quad (15.37)$$

W równaniach (15.37) $\hbar T$ określa energię sprężenia par Coopera przez barierę izolatora. T ma wymiar częstości i jest miarą tunelowania pary Coopera przez warstwę izolatora. Jeżeli $T = 0$ nie ma sprężenia między funkcjami ψ_1 i ψ_2 , czyli nie ma tunelowania. Po podstawieniu (15.36) do (15.37) otrzymujemy

$$\frac{\partial \psi_1}{\partial t} = \frac{1}{2} n_1^{-1/2} \frac{\partial n_1}{\partial t} e^{i\theta_1} + i\sqrt{n_1} \frac{\partial \theta_1}{\partial t} e^{i\theta_1} = -iT\sqrt{n_2} e^{i\theta_2}, \quad (15.38)$$

$$\frac{\partial \psi_2}{\partial t} = \frac{1}{2} n_2^{-1/2} \frac{\partial n_2}{\partial t} e^{i\theta_2} + i\sqrt{n_2} \frac{\partial \theta_2}{\partial t} e^{i\theta_2} = -iT\sqrt{n_1} e^{i\theta_1}. \quad (15.39)$$

Mnożąc równanie (15.38) przez $\sqrt{n_1} e^{-i\theta_1}$, a równanie (15.39) przez $\sqrt{n_2} e^{-i\theta_2}$ otrzymujemy

$$\frac{1}{2} \frac{\partial n_1}{\partial t} + in_1 \frac{\partial \theta_1}{\partial t} = -iT\sqrt{n_1 n_2} e^{i(\theta_2 - \theta_1)}, \quad (15.40a)$$

$$\frac{1}{2} \frac{\partial n_2}{\partial t} + in_2 \frac{\partial \theta_2}{\partial t} = -iT\sqrt{n_1 n_2} e^{-i(\theta_2 - \theta_1)}. \quad (15.40b)$$

Przyrównując części rzeczywiste i urojone równań (15.40), znajdujemy

$$\frac{\partial n_1}{\partial t} = -\frac{\partial n_2}{\partial t} = 2T\sqrt{n_1 n_2} \cdot \sin \delta, \quad (15.41a)$$

$$\frac{\partial \theta_1}{\partial t} = \frac{n_2}{n_1} \frac{\partial \theta_2}{\partial t} = -T \left(\frac{n_2}{n_1} \right)^{1/2} \cos \delta, \quad (15.41b)$$

gdzie $\delta \equiv \theta_2 - \theta_1$.

Jeżeli mamy złącze jednakowych nadprzewodników i $n_1 \equiv n_2 \equiv n$, to z równania (15.41b) znajdujemy

$$\frac{\partial \theta_1}{\partial t} = \frac{\partial \theta_2}{\partial t}. \quad (15.42)$$

Prąd J płynący z obszaru 1 do obszaru 2 proporcjonalny do $\partial n_2 / \partial t = -\partial n_1 / \partial t$. Biorąc pod uwagę (15.41a) znajdujemy

$$J = J_0 \sin \delta \equiv J_0 \sin(\theta_2 - \theta_1) , \quad (15.43)$$

gdzie

$$J_0 \sim 2T \sqrt{n_1 n_2} . \quad (15.44)$$

Ze wzoru (15.43) widzimy, że stały prąd par Coopera przez dielektryczne złącze, który płynie przy zerowym napięciu na złączu, zależy tylko od różnicy faz par Coopera w dwóch obszarach. Amplituda prądu J_0 jest proporcjonalna do energii sprzężenia T . Efekt ten nosi nazwę *staloprądowego zjawiska Josephsona*.

Różnicę faz par Coopera można zmieniać przykładając do dielektrycznej warstwy złącza stałe napięcie V . Rozważmy zachowanie złącza przy niezerowym napięciu na złączu.

W tym przypadku para Coopera tunelująca przez złącze napotyka różnice energii potencjalnej qV , gdzie $q = -2e$. Możemy przyjąć, że para po jednej stronie ma energię potencjalną $-eV$, a po drugiej stronie złącza eV . Wtedy równania Schrödingera dla dwóch obszarów przyjmują postać

$$i\hbar \frac{\partial \psi_1}{\partial t} = \hbar T \psi_2 - eV \psi_1 , \quad i\hbar \frac{\partial \psi_2}{\partial t} = \hbar T \psi_1 + eV \psi_2 . \quad (15.45)$$

Znów po podstawieniu (15.41) do (15.45) otrzymujemy

$$\frac{\partial \psi_1}{\partial t} = \frac{1}{2} n_1^{-1/2} \frac{\partial n_1}{\partial t} e^{i\theta_1} + i\sqrt{n_1} \frac{\partial \theta_1}{\partial t} e^{i\theta_1} = -iT\sqrt{n_2} e^{i\theta_2} + i(eV/\hbar)n_1^{1/2} e^{i\theta_1} , \quad (15.46)$$

$$\frac{\partial \psi_2}{\partial t} = \frac{1}{2} n_2^{-1/2} \frac{\partial n_2}{\partial t} e^{i\theta_2} + i\sqrt{n_2} \frac{\partial \theta_2}{\partial t} e^{i\theta_2} = -iT\sqrt{n_1} e^{i\theta_1} - i(eV/\hbar)n_2^{1/2} e^{i\theta_2} . \quad (15.47)$$

Mnożąc równanie (15.46) przez $\sqrt{n_1} e^{-i\theta_1}$, a równanie (15.47) przez $\sqrt{n_2} e^{-i\theta_2}$ otrzymujemy

$$\frac{1}{2} \frac{\partial n_1}{\partial t} + in_1 \frac{\partial \theta_1}{\partial t} = i(eV/\hbar)n_1 - iT\sqrt{n_1 n_2} e^{i\delta} , \quad (15.48a)$$

$$\frac{1}{2} \frac{\partial n_2}{\partial t} + in_2 \frac{\partial \theta_2}{\partial t} = -i(eV/\hbar)n_2 - iT\sqrt{n_1 n_2} e^{-i\delta} . \quad (15.48b)$$

Przyrównując części rzeczywiste i urojone równań (15.48) znajdujemy

$$\frac{\partial n_1}{\partial t} = 2T \sqrt{n_1 n_2} \sin \delta , \quad (15.49a)$$

$$\frac{\partial \theta_1}{\partial t} = (eV / \hbar) - T \sqrt{n_2 / n_1} \cos \delta , \quad (15.49b)$$

$$\frac{\partial n_2}{\partial t} = -2T \sqrt{n_1 n_2} \sin \delta . \quad (15.50a)$$

$$\frac{\partial \theta_2}{\partial t} = -(eV / \hbar) - T \sqrt{n_1 / n_2} \cos \delta . \quad (15.50b)$$

Przyjmując znów, że $n_1 \equiv n_2$ ze wzorów (15.49b) i (15.50b) otrzymujemy

$$\frac{\partial (\theta_2 - \theta_1)}{\partial t} \equiv \frac{\partial \delta}{\partial t} = -2eV / \hbar . \quad (15.51)$$

Całkując równanie (15.51) znajdujemy

$$\delta (t) = \delta (0) - 2eVt / \hbar . \quad (15.52)$$

A zatem stałe napięcie, przyłożone do złącza, powoduje, że różnica faz $\delta = \theta_2 - \theta_1$ funkcji falowych pary Coopera w dwóch obszarach staje się zależną od przyłożonego napięcia. Podstawiając (15.52) do wzoru (15.43) otrzymamy wzór na prąd nadprzewodzący przez złącze

$$J = J_0 \sin \delta \equiv J_0 \sin(\delta (0) - 2eVt / \hbar) , \quad (15.53)$$

Ze wzoru (15.53) wynika, że prąd nadprzewodzący oscyluje z częstością

$$\omega = 2eV / \hbar . \quad (15.54)$$

Te oscylacje prądu noszą nazwę *zmiennoprądowym zjawiskiem Josephsona*. Przy $V = 1 \mu V$ częstość oscylacji wynosi 483,6 MHz.

Interferometr kwantowy. Squid (skwid)

Rozważmy dwa złącza Josephsona połączone równolegle, tak jak pokazano na rys. 15.2. Niech różnica faz w punktach 1 i 2 liczona wzdłuż drogi (a) wynosi δ_a , a liczona wzdłuż drogi (b) – (δ_b). Bez przyłożonego zewnętrznego pola magnetycznego te dwie fazy muszą być sobie równe. Umieścimy teraz wewnątrz obwodu solenoid prostopadły do płaszczyzny obwodu. Biorąc pod uwagę wzór (15.33) dla zmiany fazy $\theta_2 - \theta_1$ po obiegnięciu całego obwodu mamy

$$\theta_2 - \theta_1 = \delta_b - \delta_a = (2e / \hbar) \Phi , \quad (15.55)$$

gdzie Φ - strumień magnetyczny przenikający przez obwód.

We wzorze (15.55) znak (-) przy δ_a związany jest z tym, że kierunek obiegu górnego złącza jest przeciwny do kierunku obiegu dolnego złącza.

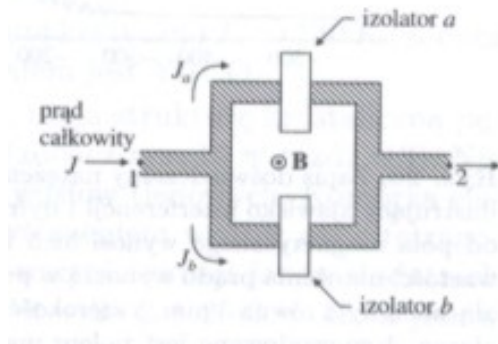


Рис.15.2. Dwa złącza Josephsona

Na podstawie wzoru (15.55) możemy zapisać

$$\delta_b = \delta_0 + (e/\hbar)\Phi, \quad (15.56a)$$

$$\delta_a = \delta_0 - (e/\hbar)\Phi, \quad (15.56b)$$

Natężenie prądu płynącego między punktami 1 i 2 jest sumą prądów płynących wzdłuż górnego i dolnego złącza. Natężenie prądu płynącego przez każde ze złącza określa wzór (15.43). A zatem

$$J_{\text{całkow}} = J_0 \left[\sin\left(\delta_0 + \frac{e}{\hbar}\Phi\right) + \sin\left(\delta_0 - \frac{e}{\hbar}\Phi\right) \right] = 2J_0 \sin\delta_0 \cdot \cos\left(\frac{e\Phi}{\hbar}\right). \quad (15.57)$$

Na rys.15.3 jest pokazana periodyczność prądu płynącego między punktami 1 i 2 dla dwóch różnych wartości indukcji pola magnetycznego.

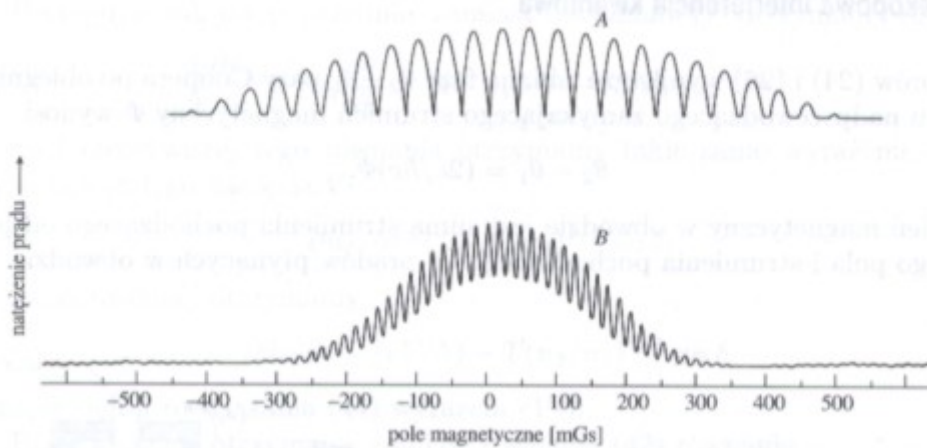


Рис.15.3.

Rys.15.3. Oscylacje natężenia prądu dla dwóch interferometrów kwantowych A i B

Oscylacje pokazane na rys.15.3 są skutkiem interferencji fal par Coopera. Interferencja kwantowa w nadprzewodnikach jest szeroko wykorzystywana w urządzeniach do pomiaru słabych pól magnetycznych (skwidy). W tych urządzeniach wykorzystuje się właściwość

interferometru nadprzewodzącego reagować na dość słabe zmiany indukcji zewnętrznego pola magnetycznego.